

表1 三种方法测量结果

项目 样品 结果	R_s (kΩ)			R_t (kΩ)			C_d ($10^3 \mu F$)		
	恒流	积分	放电	恒流	积分	放电	恒流	积分	放电
C_1	29.00	28.00	28.00		29.40	26.31	9.43	2.37	2.07
C_2	9.80	6.23	6.23		16.81	13.04	22.00	4.36	5.27
C_3	6.50	6.61	6.61		21.91	25.29	51.01	14.50	11.60

[2] 村中孝义、森元,电子材料,8(1981),129.

参考文献

[1] 薛荣坚,电子世界,11(1981),4.

改进 Bessel 函数法激光干涉测振

陈守六 李学志 赵春山 金亨焕

(中国科学院声学研究所)

1983年4月14日收到

一、引言

激光干涉法是测量振动的有效方法,它具有精度高、空间分辨率高、与被测物体不接触等优点,故在振动测量上的应用日趋广泛。激光干涉法一般分为外差法及零差法两大类,外差法可测瞬态振动,且能辨别振动位相,但设备较复杂。零差法所需设备简单。

零差法的光电信号,对于大振幅,可用计数器直接记录干涉条纹数的办法,但对光波波长量级或更小的振幅,则需对条纹进行细分,这需用较复杂的专用电子设备。

零差法光电信号处理的另一常用方法是 Bessel 函数法^[1],这类方法的优点是设备简单,但此法不能用于较大振幅的测量。本文提出一个改进的 Bessel 函数法,使它亦能测量大振幅,初步实验表明,它可用来测量大于 1000 \AA 的振幅。

二、原 理

图1为测振系统示意图。当被测物体作振幅为 A 的简谐振动时,输出光电流为^[1]

$$I = K \left[a + \cos \left(\frac{4\pi}{\lambda} A \cos \omega t + \theta \right) \right], \quad (1)$$

式中 K 为与光电系统有关的常数, ω 为振动角

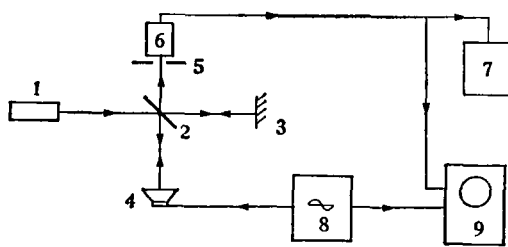


图1 测振系统示意图

1—激光器; 2—分光镜; 3—全反镜; 4—被测物体; 5—光阑; 6—光电接收器; 7—信号处理器; 8—振荡器; 9—示波器

频率, $\theta = \frac{4\pi}{\lambda} \Delta L$, ΔL 为参考光路与测量光路之间的静态光程差, λ 为光波长, a 为常数。略去直流分量, 把(1)式按 Bessel 函数展开, 可得^[1]

$$\begin{aligned} I &= K \cos \theta \left[J_0 \left(\frac{4\pi}{\lambda} A \right) \right. \\ &\quad - 2J_2 \left(\frac{4\pi}{\lambda} A \right) \cos 2\omega t + \dots \\ &\quad - K \sin \theta \times \left[2J_1 \left(\frac{4\pi}{\lambda} A \right) \sin \omega t \right. \\ &\quad \left. \left. - 2J_3 \left(\frac{4\pi}{\lambda} A \right) \sin 3\omega t + \dots \right] \right]. \quad (2) \end{aligned}$$

(2)式表明, 光电流的频谱由振动的基频及其谐波组成。设 P_n 为光电流第 n 次谐波的幅度, 即

$$P_n = 2KJ_n \left(\frac{4\pi}{\lambda} A \right) \begin{cases} \cos \theta & \text{当 } n \text{ 取偶数} \\ \sin \theta & \text{当 } n \text{ 取奇数} \end{cases} \quad (3)$$

实验上, P_n 容易测定, 但常数 K 及 θ 却不易测准, 尤其是 θ 还会在测量过程中发生变化, 所以一般用二个不同次的谐波幅度之比或某个特殊点(如极大值或零点)来确定振幅 A , 这就是一般的 Bessel 函数法所依据的原理^[1]。

我们由 Bessel 函数的自递推关系式出发^[2]:

$$x = \frac{2nJ_n(x)}{J_{n+1}(x) + J_{n-1}(x)}, \quad n = 1, 2, 3, \dots, \quad (4)$$

$$x = \frac{2(n-1)J_{n-1}(x)}{J_n(x) + J_{n-2}(x)},$$

$$x = \frac{2(n+1)J_{n+1}(x)}{J_{n+2}(x) + J_n(x)},$$

消去 $J_{n-1}(x)$ 及 $J_{n+1}(x)$ 项, 即得

$$x = \left[\frac{4n(n^2-1)J_n(x)}{(n+1)J_{n-2}(x) + 2nJ_n(x) + (n-1)J_{n+2}(x)} \right]^{\frac{1}{2}}, \quad (5)$$

将(3)式代入(5)式, 并注意 $x = \frac{4\pi}{\lambda} A$, 就得

$$\begin{aligned} x &= \left[\frac{4n(n^2-1)P_n}{(n+1)P_{n-2} + 2nP_n + (n-1)P_{n+2}} \right]^{\frac{1}{2}}, \\ A &= \frac{\lambda}{4\pi} x. \end{aligned} \quad (6)$$

在导出(6)式时, 对 x 未作任何限制, 因而, 理论上, (6)式适用于任何振幅。由(6)式可知, 只要实验上测定了三个相继偶次或奇次谐频的幅度, 就可唯一地确定振幅 A 。

三、实 验

实验光路如图 1 所示。实验中所用的信号分析器是 7T08 型信号处理器, 振动体是电动式喇叭或驻极体传声器。实验时, 给喇叭一定激励电压, 然后测量分析其光电流, 按(6)式计算振幅 A 。表 1 为电动喇叭的实验结果, 表 2 为传声器的实验结果。作为对照, 表中也同时给出了条纹计数法及 J_1/J_3 比法的结果。图 2 照片是激励电压分别为 8 mV、16 mV、32 mV 时的光电流波形(光电流波形下边的慢变化波形为对应的激励电压波形)。

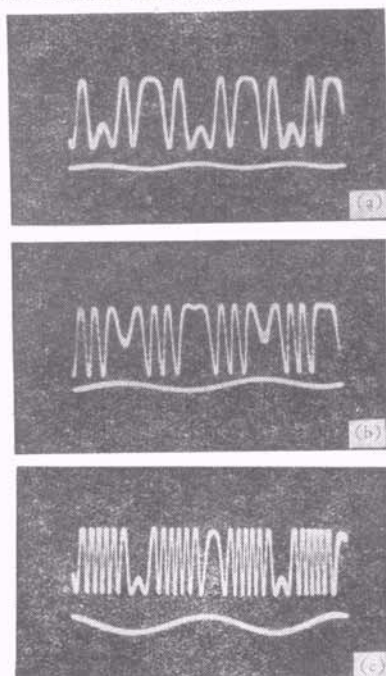


图 2 光电流波形
(a) 8mV; (b) 16mV; (c) 32mV

从图 2 照片看到, 用简单的实验设备即可得到清晰的光电信号。表 1 结果表明, 条纹计数法, 当振幅较大时, 与本法结果比较一致, 当振幅较小时, 差别增大, 这是由于不到整数条纹的尾数丢失的缘故, 所以其结果总是偏小。这

表明条纹直接记数法对振幅小于 $1\mu\text{m}$ 时已不大适用。用 7T08 信号处理器分析频谱时，可对多段信号作平均处理；实验中，平均次数均多于二百次，这就减小了随机干扰的影响。

表 1 电动式喇叭的测量结果

方法	振幅 (μm)	电压 (mV)	2	4	8	16	32	64	128
J_1/J_3 法		0.065							
本法			0.132	0.277	0.559	1.07	2.17	4.48	
条纹法					0.514	1.03	2.14	4.43	

表 2 驻极体传声器的测量结果

方法	振幅 (μm)	电压 (V)	2	4	6	8	12
J_1/J_3 法		0.0378	0.0775				
本法					0.114	0.154	0.235

四、结 论

改进的 Bessel 函数法可用来测量大于 1000\AA 振幅的振动，克服了原来 Bessel 函数法不能测量大振幅的限制。本法对光路要求不高，也不需专用的电子设备，可作为实验室一般换能器表面振幅测量之用。

本法只适用于简谐振动的测量，这是零差法固有的缺点。

参 考 文 献

- [1] H. A. Deferrari et al., *J. Acoust. Soc. Am.*, **42** (1967), 982.
- [2] 《数学手册》编写组, 数学手册, 人民教育出版社,(1979), 635。

1984 年第 4 期《物理》内容预告

1. 凝聚态物理的回顾与展望(冯端)
2. III-V 族化合物半导体的氧化膜及其界面性质研究的进展(陈克铭等)
3. 电介质及其在经济建设中的作用(李从周)
4. 真空紫外和软 X 射线波段成像探测器(余永正等)
5. 测量声学材料复杨氏模量的传递函数方法(张同根等)
6. 近代物理讲座第五讲：等离子体物理与受控热核反应简介(张承福)
7. 新实验技术讲座第十三讲：扫描超声显微镜在材料科学上的应用(殷实端)
8. 波导理论的奠基人瑞利(黄志询)